

Eingabe: Farbmimetrisches Reflexions-System MRS18a

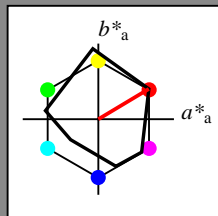
für Buntton  $h^* = lab^*h = 31/360 = 0.086$

LAB\*LCH, LAB\*NCH

D65: Buntton R

LCH\*Ma: 50 78 31

olv\*Ma: 1.0 0.0 0.0



**MRS18a; adaptierte CIELAB-Daten**

	$L^*=L^*_a$	$a^*_a$	$b^*_a$	$C^*_{ab,a}$	$h^*_{ab,a}$
R <sub>Ma</sub>	49.63	66.8	40.02	77.87	31
J <sub>Ma</sub>	90.7	-7.27	93.19	93.48	94
G <sub>Ma</sub>	52.11	-69.93	11.26	70.85	171
G50B <sub>Ma</sub>	45.03	-36.65	-27.13	45.61	217
B <sub>Ma</sub>	36.65	23.26	-62.27	66.49	290
B50R <sub>Ma</sub>	34.94	57.27	-43.6	71.99	323
N <sub>Ma</sub>	18.01	0.0	0.0	0.0	0
W <sub>Ma</sub>	95.41	0.0	0.0	0.0	0
R <sub>CIE</sub>	39.92	58.67	27.97	64.99	25
J <sub>CIE</sub>	81.26	-2.91	71.56	71.62	92
G <sub>CIE</sub>	52.23	-42.47	13.58	44.6	162
B <sub>CIE</sub>	30.57	1.33	-46.48	46.51	272

CIELAB-Helligkeit  $L^*$

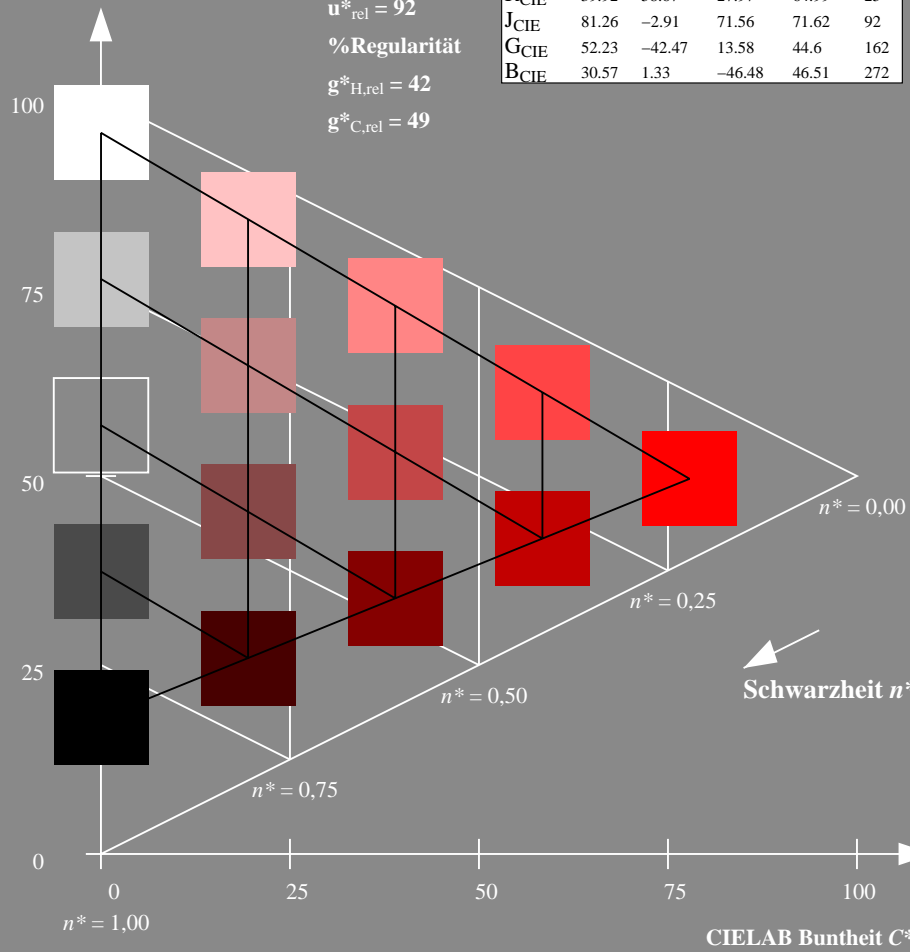
%Umfang

$u^*_{rel} = 92$

%Regularität

$g^*_{H,rel} = 42$

$g^*_{C,rel} = 49$



Ausgabe: Farbmimetrisches Reflexions-System ORS18

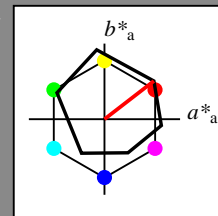
für Buntton  $h^* = lab^*h = 38/360 = 0.105$

LAB\*LCH, LAB\*NCH

D65: Buntton O

LCH\*Ma: 48 83 38

olv\*Ma: 1.0 0.0 0.0



**ORS18; adaptierte CIELAB-Daten**

	$L^*=L^*_a$	$a^*_a$	$b^*_a$	$C^*_{ab,a}$	$h^*_{ab,a}$
O <sub>Ma</sub>	47.94	65.37	50.52	82.62	38
Y <sub>Ma</sub>	90.37	-10.27	91.77	92.34	96
L <sub>Ma</sub>	50.9	-62.79	34.95	71.87	151
C <sub>Ma</sub>	58.62	-30.35	-45.01	54.3	236
V <sub>Ma</sub>	25.71	31.11	-44.42	54.24	305
M <sub>Ma</sub>	48.13	75.27	-8.35	75.73	354
N <sub>Ma</sub>	18.01	0.0	0.0	0.0	0
W <sub>Ma</sub>	95.41	0.0	0.0	0.0	0
R <sub>CIE</sub>	39.92	58.66	26.98	64.56	25
J <sub>CIE</sub>	81.26	-2.17	67.76	67.79	92
G <sub>CIE</sub>	52.23	-42.26	11.75	43.87	164
B <sub>CIE</sub>	30.57	1.15	-46.84	46.87	271

CIELAB-Helligkeit  $L^*$

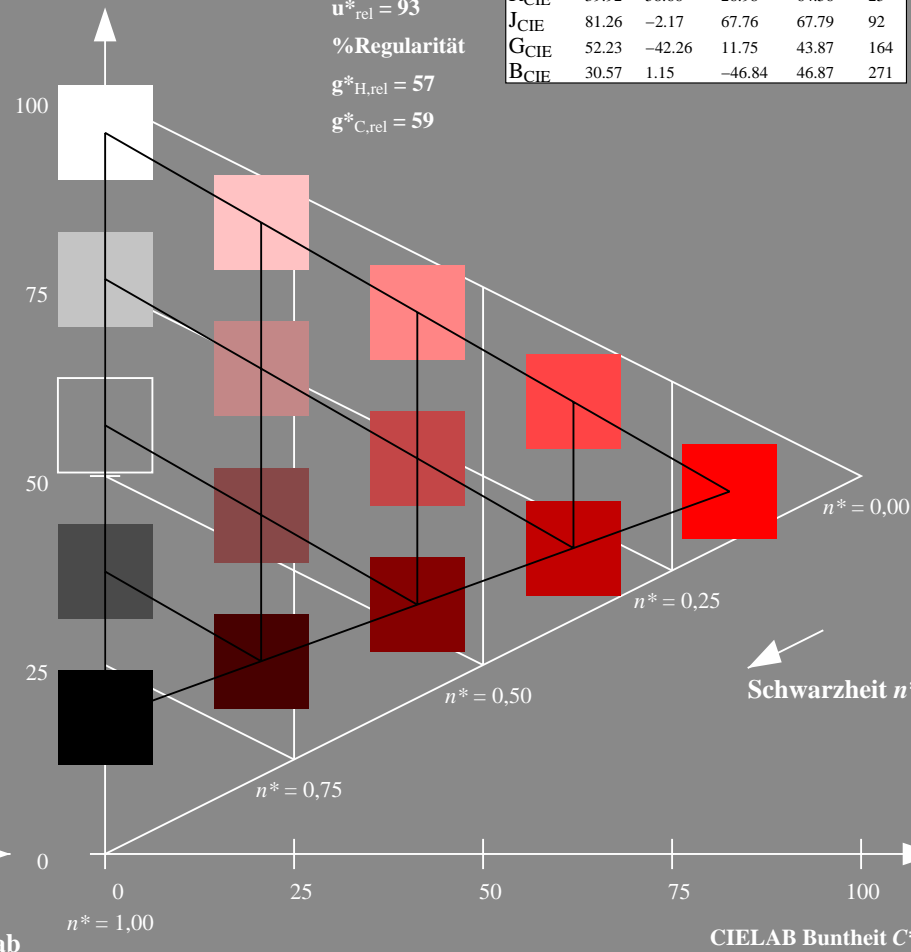
%Umfang

$u^*_{rel} = 93$

%Regularität

$g^*_{H,rel} = 57$

$g^*_{C,rel} = 59$



TG360-7, 5 stufige Reihen für konstanten CIELAB Buntton 31/360 = 0.086 (links)

5 stufige Reihen für konstanten CIELAB Buntton 38/360 = 0.105 (rechts)

BAM-Prüfvorlage TG36; Farbmimetrische Systeme MRS18a & ORS18

D65: Koordinaten-Systeme von 5stufigen Farbreihen für 10 Buntton

Input: `olv* setrgbcolor`

Output: `olv* setrgbcolor / w* setgray`

Siehe ähnliche Dateien: <http://www.ps.bam.de/TG36/>  
 Technische Information: <http://www.ps.bam.de> Version 2.1, io=1,1, CIEXYZ

BAM-Registrierung: 20060101-TG36/10L/L36G00FP.PS/.PDF BAM-Material: Code=rhatha  
 Anwendung für Beurteilung und Messung von Drucker- oder Monitorssystemen, Yr=2.5, XYZ  
 /TG36 Form: 1/10, Serie: 1/1, Seite: 1 Seitezahl: 1

Eingabe: Farbmimetrisches Reflexions-System MRS18a

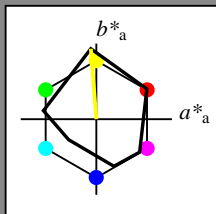
für Buntton  $h^* = lab^*h = 94/360 = 0.262$

LAB\*LCH, LAB\*NCH

D65: Buntton J

LCH\*Ma: 91 93 94

olv\*Ma: 1.0 1.0 0.0



MRS18a; adaptierte CIELAB-Daten

	$L^*=L^*_a$	$a^*_a$	$b^*_a$	$C^*_{ab,a}$	$h^*_{ab,a}$
R <sub>Ma</sub>	49.63	66.8	40.02	77.87	31
J <sub>Ma</sub>	90.7	-7.27	93.19	93.48	94
G <sub>Ma</sub>	52.11	-69.93	11.26	70.85	171
G50B <sub>Ma</sub>	45.03	-36.65	-27.13	45.61	217
B <sub>Ma</sub>	36.65	23.26	-62.27	66.49	290
B50R <sub>Ma</sub>	34.94	57.27	-43.6	71.99	323
N <sub>Ma</sub>	18.01	0.0	0.0	0.0	0
W <sub>Ma</sub>	95.41	0.0	0.0	0.0	0
R <sub>CIE</sub>	39.92	58.67	27.97	64.99	25
J <sub>CIE</sub>	81.26	-2.91	71.56	71.62	92
G <sub>CIE</sub>	52.23	-42.47	13.58	44.6	162
B <sub>CIE</sub>	30.57	1.33	-46.48	46.51	272

CIELAB-Helligkeit  $L^*$

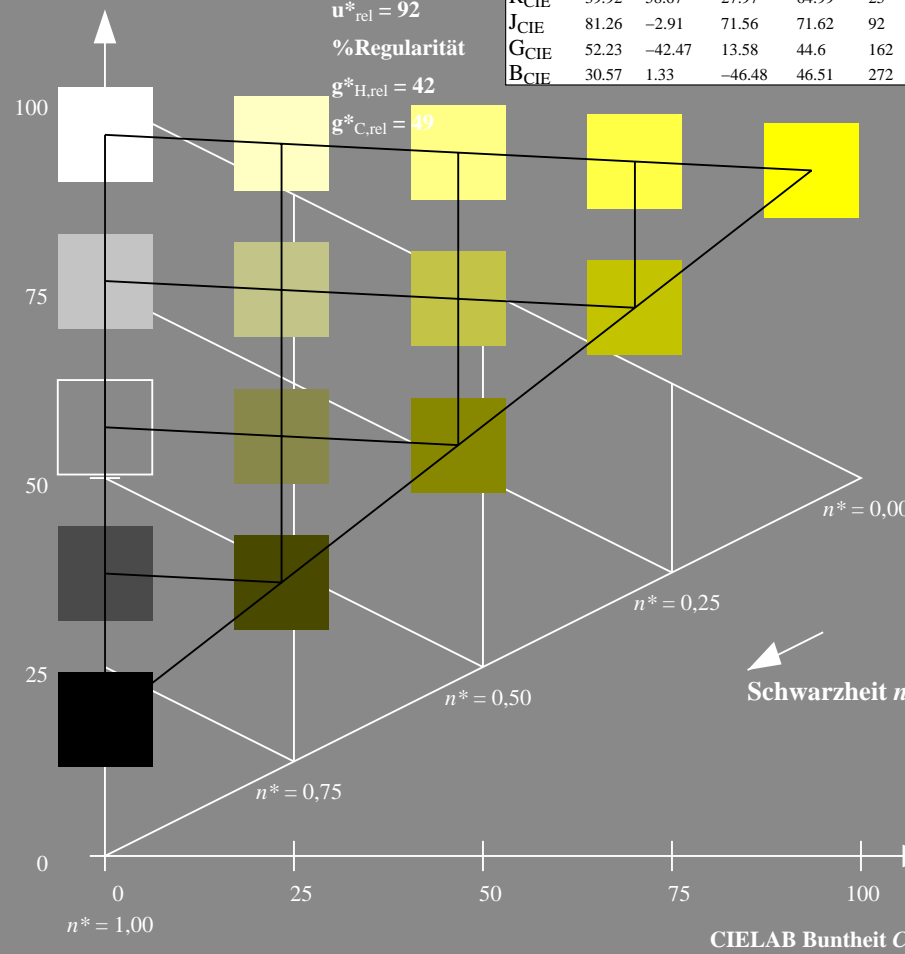
%Umfang

$u^*_{rel} = 92$

%Regularität

$g^*_{H,rel} = 42$

$g^*_{C,rel} = 49$



Ausgabe: Farbmimetrisches Reflexions-System ORS18

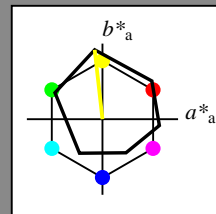
für Buntton  $h^* = lab^*h = 96/360 = 0.268$

LAB\*LCH, LAB\*NCH

D65: Buntton Y

LCH\*Ma: 90 92 96

olv\*Ma: 1.0 1.0 0.0



ORS18; adaptierte CIELAB-Daten

	$L^*=L^*_a$	$a^*_a$	$b^*_a$	$C^*_{ab,a}$	$h^*_{ab,a}$
O <sub>Ma</sub>	47.94	65.37	50.52	82.62	38
Y <sub>Ma</sub>	90.37	-10.27	91.77	92.34	96
L <sub>Ma</sub>	50.9	-62.79	34.95	71.87	151
C <sub>Ma</sub>	58.62	-30.35	-45.01	54.3	236
V <sub>Ma</sub>	25.71	31.11	-44.42	54.24	305
M <sub>Ma</sub>	48.13	75.27	-8.35	75.73	354
N <sub>Ma</sub>	18.01	0.0	0.0	0.0	0
W <sub>Ma</sub>	95.41	0.0	0.0	0.0	0
R <sub>CIE</sub>	39.92	58.66	26.98	64.56	25
J <sub>CIE</sub>	81.26	-2.17	67.76	67.79	92
G <sub>CIE</sub>	52.23	-42.26	11.75	43.87	164
B <sub>CIE</sub>	30.57	1.15	-46.84	46.87	271

CIELAB-Helligkeit  $L^*$

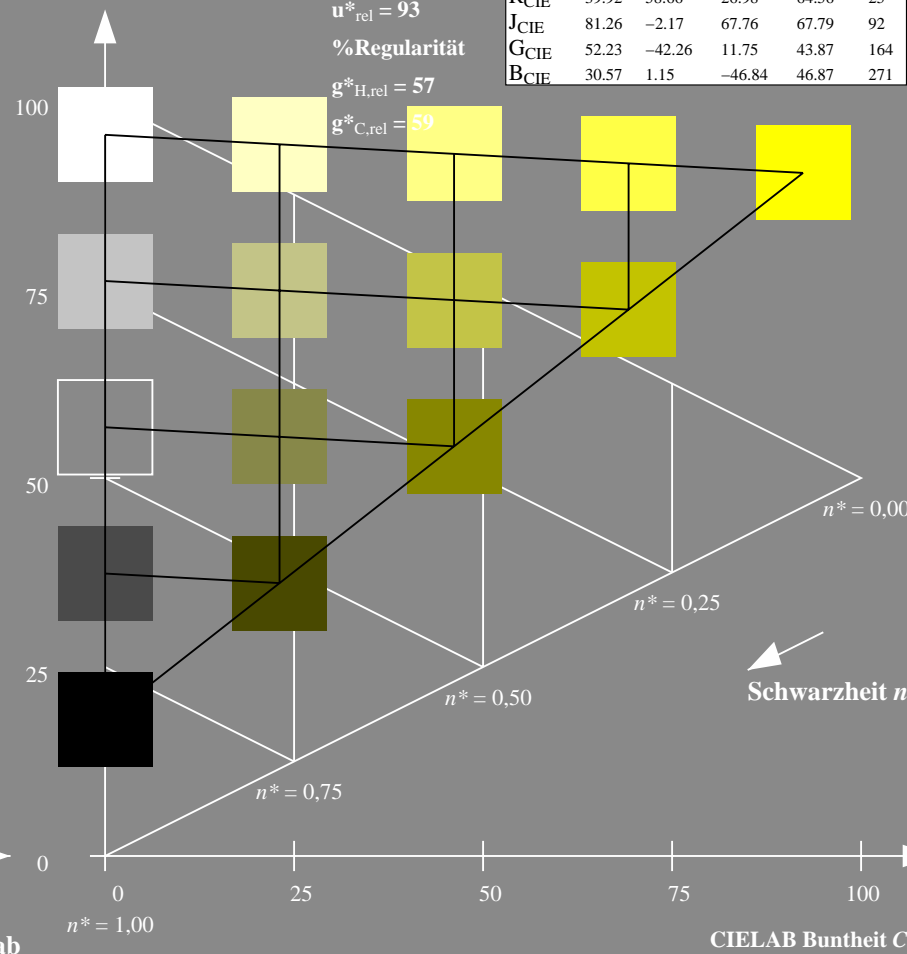
%Umfang

$u^*_{rel} = 93$

%Regularität

$g^*_{H,rel} = 57$

$g^*_{C,rel} = 59$



TG360-7, 5 stufige Reihen für konstanten CIELAB Buntton 94/360 = 0.262 (links)

5 stufige Reihen für konstanten CIELAB Buntton 96/360 = 0.268 (rechts)

BAM-Prüfvorlage TG36; Farbmimetrische Systeme MRS18a & ORS18

D65: Koordinaten-Systeme von 5stufigen Farbreihen für 10 Buntton  
 Input: olv\* setrgbcolor / w\* setgray

Siehe ähnliche Dateien: <http://www.ps.bam.de/TG36/>  
 Technische Information: <http://www.ps.bam.de> Version 2.1, io=1,1, CIEXYZ

BAM-Registrierung: 20060101-TG36/10L/L36G01FP.PS/.PDF BAM-Material: Code=rhatha  
 Anwendung für Beurteilung und Messung von Drucker- oder Monitorssystemen, Yr=2.5, XYZ  
 /TG36 Form: 2/10, Serie: 1/1, Seite: 2 Seite: 2

Eingabe: Farbmimetrisches Reflexions-System MRS18a

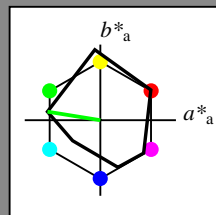
für Buntton  $h^* = lab^*h = 171/360 = 0.475$

LAB\*LCH, LAB\*NCH

D65: Buntton G

LCH\*Ma: 52 71 171

olv\*Ma: 0.0 1.0 0.0



**MRS18a; adaptierte CIELAB-Daten**

	$L^*=L^*_a$	$a^*_a$	$b^*_a$	$C^*_{ab,a}$	$h^*_{ab,a}$
R <sub>Ma</sub>	49.63	66.8	40.02	77.87	31
J <sub>Ma</sub>	90.7	-7.27	93.19	93.48	94
G <sub>Ma</sub>	52.11	-69.93	11.26	70.85	171
G50B <sub>Ma</sub>	45.03	-36.65	-27.13	45.61	217
B <sub>Ma</sub>	36.65	23.26	-62.27	66.49	290
B50R <sub>Ma</sub>	34.94	57.27	-43.6	71.99	323
N <sub>Ma</sub>	18.01	0.0	0.0	0.0	0
W <sub>Ma</sub>	95.41	0.0	0.0	0.0	0
R <sub>CIE</sub>	39.92	58.67	27.97	64.99	25
J <sub>CIE</sub>	81.26	-2.91	71.56	71.62	92
G <sub>CIE</sub>	52.23	-42.47	13.58	44.6	162
B <sub>CIE</sub>	30.57	1.33	-46.48	46.51	272

CIELAB-Helligkeit  $L^*$

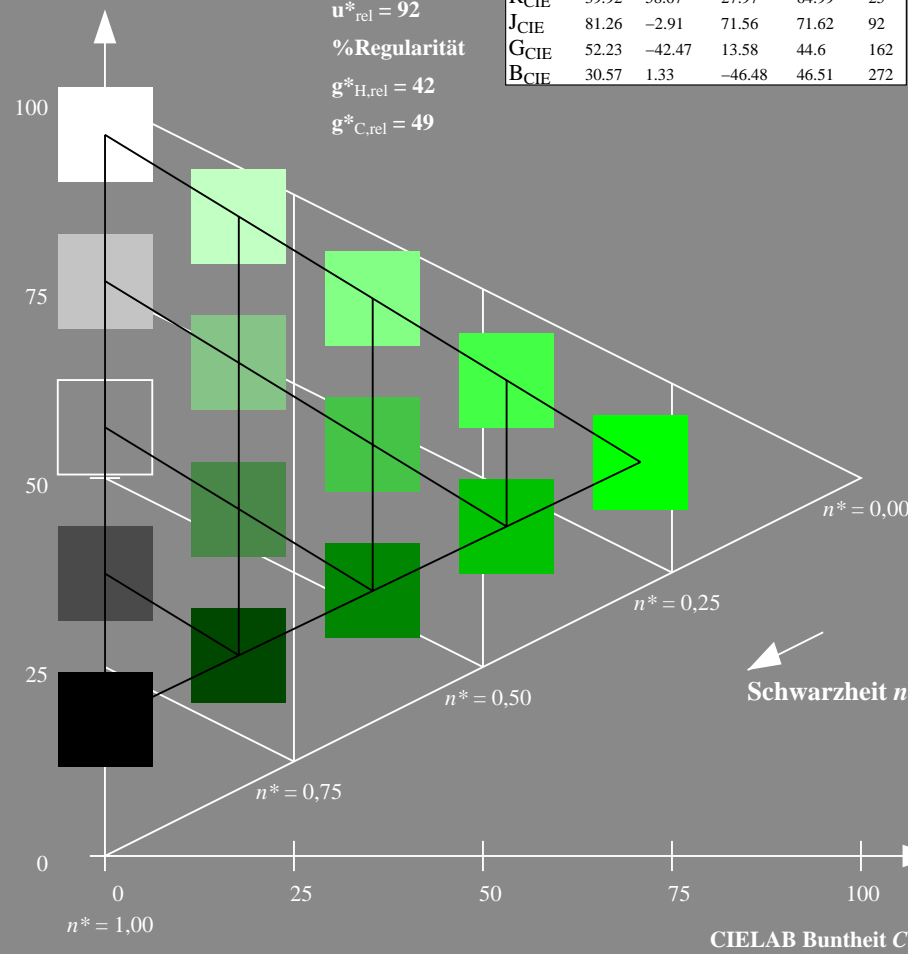
%Umfang

$u^*_{rel} = 92$

%Regularität

$g^*_{H,rel} = 42$

$g^*_{C,rel} = 49$



Ausgabe: Farbmimetrisches Reflexions-System ORS18

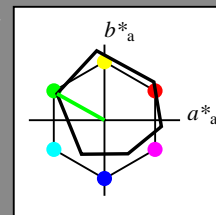
für Buntton  $h^* = lab^*h = 151/360 = 0.419$

LAB\*LCH, LAB\*NCH

D65: Buntton L

LCH\*Ma: 51 72 151

olv\*Ma: 0.0 1.0 0.0



**ORS18; adaptierte CIELAB-Daten**

	$L^*=L^*_a$	$a^*_a$	$b^*_a$	$C^*_{ab,a}$	$h^*_{ab,a}$
O <sub>Ma</sub>	47.94	65.37	50.52	82.62	38
Y <sub>Ma</sub>	90.37	-10.27	91.77	92.34	96
L <sub>Ma</sub>	50.9	-62.79	34.95	71.87	151
C <sub>Ma</sub>	58.62	-30.35	-45.01	54.3	236
V <sub>Ma</sub>	25.71	31.11	-44.42	54.24	305
M <sub>Ma</sub>	48.13	75.27	-8.35	75.73	354
N <sub>Ma</sub>	18.01	0.0	0.0	0.0	0
W <sub>Ma</sub>	95.41	0.0	0.0	0.0	0
R <sub>CIE</sub>	39.92	58.66	26.98	64.56	25
J <sub>CIE</sub>	81.26	-2.17	67.76	67.79	92
G <sub>CIE</sub>	52.23	-42.26	11.75	43.87	164
B <sub>CIE</sub>	30.57	1.15	-46.84	46.87	271

CIELAB-Helligkeit  $L^*$

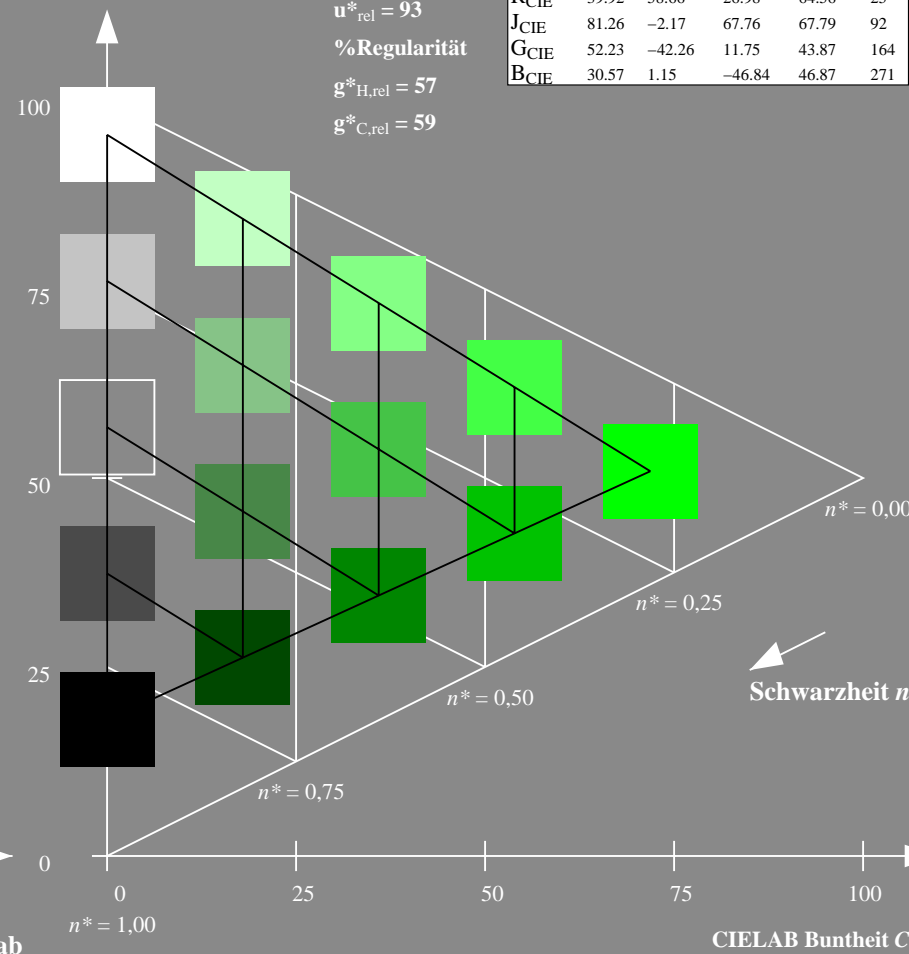
%Umfang

$u^*_{rel} = 93$

%Regularität

$g^*_{H,rel} = 57$

$g^*_{C,rel} = 59$



TG360-7, 5 stufige Reihen für konstanten CIELAB Buntton 171/360 = 0.475 (links)

5 stufige Reihen für konstanten CIELAB Buntton 151/360 = 0.419 (rechts)

BAM-Prüfvorlage TG36; Farbmimetrische Systeme MRS18a & ORS18

D65: Koordinaten-Systeme von 5stufigen Farbreihen für 10 Buntton  
 Input: `olv* setrgbcolor`  
 Output: `olv* setrgbcolor / w* setgray`

Siehe ähnliche Dateien: <http://www.ps.bam.de/TG36/>  
 Technische Information: <http://www.ps.bam.de> Version 2.1, io=1,1, CIEXYZ

BAM-Registrierung: 20060101-TG36/10L/L36G02FP.PS/.PDF BAM-Material: Code=rhatha  
 Anwendung für Beurteilung und Messung von Drucker- oder Monitorssystemen, Yr=2.5, XYZ  
 /TG36 Form: 3/10, Serie: 1/1, Seite: 3 Seite: 3

Eingabe: Farbmimetrisches Reflexions-System MRS18a

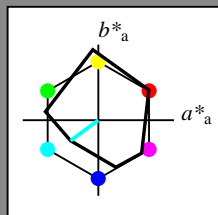
für Buntton  $h^* = lab^*h = 217/360 = 0.601$

LAB\*LCH, LAB\*NCH

D65: Buntton G50B

LCH\*Ma: 45 46 217

olv\*Ma: 0.0 1.0 1.0



MRS18a; adaptierte CIELAB-Daten

	$L^*=L^*_a$	$a^*_a$	$b^*_a$	$C^*_{ab,a}$	$h^*_{ab,a}$
R <sub>Ma</sub>	49.63	66.8	40.02	77.87	31
J <sub>Ma</sub>	90.7	-7.27	93.19	93.48	94
G <sub>Ma</sub>	52.11	-69.93	11.26	70.85	171
G50B <sub>Ma</sub>	45.03	-36.65	-27.13	45.61	217
B <sub>Ma</sub>	36.65	23.26	-62.27	66.49	290
B50R <sub>Ma</sub>	34.94	57.27	-43.6	71.99	323
N <sub>Ma</sub>	18.01	0.0	0.0	0.0	0
W <sub>Ma</sub>	95.41	0.0	0.0	0.0	0
R <sub>CIE</sub>	39.92	58.67	27.97	64.99	25
J <sub>CIE</sub>	81.26	-2.91	71.56	71.62	92
G <sub>CIE</sub>	52.23	-42.47	13.58	44.6	162
B <sub>CIE</sub>	30.57	1.33	-46.48	46.51	272

CIELAB-Helligkeit  $L^*$

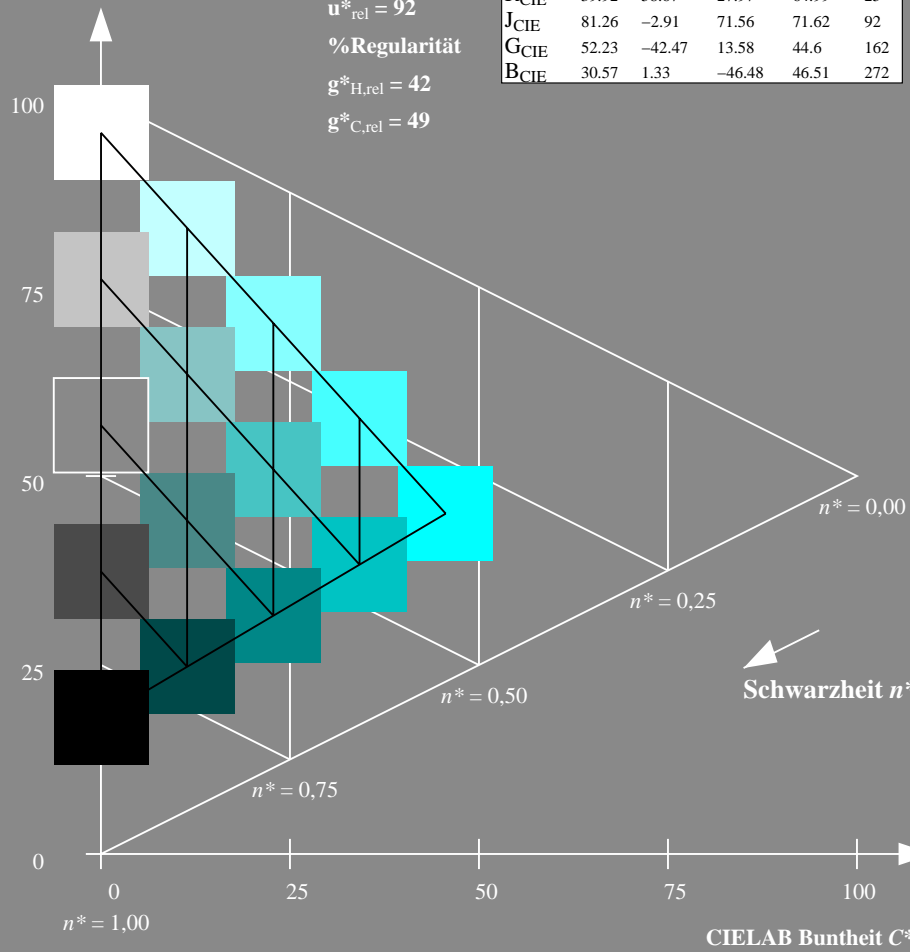
%Umfang

$u^*_{rel} = 92$

%Regularität

$g^*_{H,rel} = 42$

$g^*_{C,rel} = 49$



TG360-7, 5 stufige Reihen für konstanten CIELAB Bunton 217/360 = 0.601 (links)

Ausgabe: Farbmimetrisches Reflexions-System ORS18

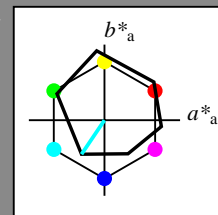
für Buntton  $h^* = lab^*h = 236/360 = 0.656$

LAB\*LCH, LAB\*NCH

D65: Buntton C

LCH\*Ma: 59 54 236

olv\*Ma: 0.0 1.0 1.0



ORS18; adaptierte CIELAB-Daten

	$L^*=L^*_a$	$a^*_a$	$b^*_a$	$C^*_{ab,a}$	$h^*_{ab,a}$
O <sub>Ma</sub>	47.94	65.37	50.52	82.62	38
Y <sub>Ma</sub>	90.37	-10.27	91.77	92.34	96
L <sub>Ma</sub>	50.9	-62.79	34.95	71.87	151
C <sub>Ma</sub>	58.62	-30.35	-45.01	54.3	236
V <sub>Ma</sub>	25.71	31.11	-44.42	54.24	305
M <sub>Ma</sub>	48.13	75.27	-8.35	75.73	354
N <sub>Ma</sub>	18.01	0.0	0.0	0.0	0
W <sub>Ma</sub>	95.41	0.0	0.0	0.0	0
R <sub>CIE</sub>	39.92	58.66	26.98	64.56	25
J <sub>CIE</sub>	81.26	-2.17	67.76	67.79	92
G <sub>CIE</sub>	52.23	-42.26	11.75	43.87	164
B <sub>CIE</sub>	30.57	1.15	-46.84	46.87	271

CIELAB-Helligkeit  $L^*$

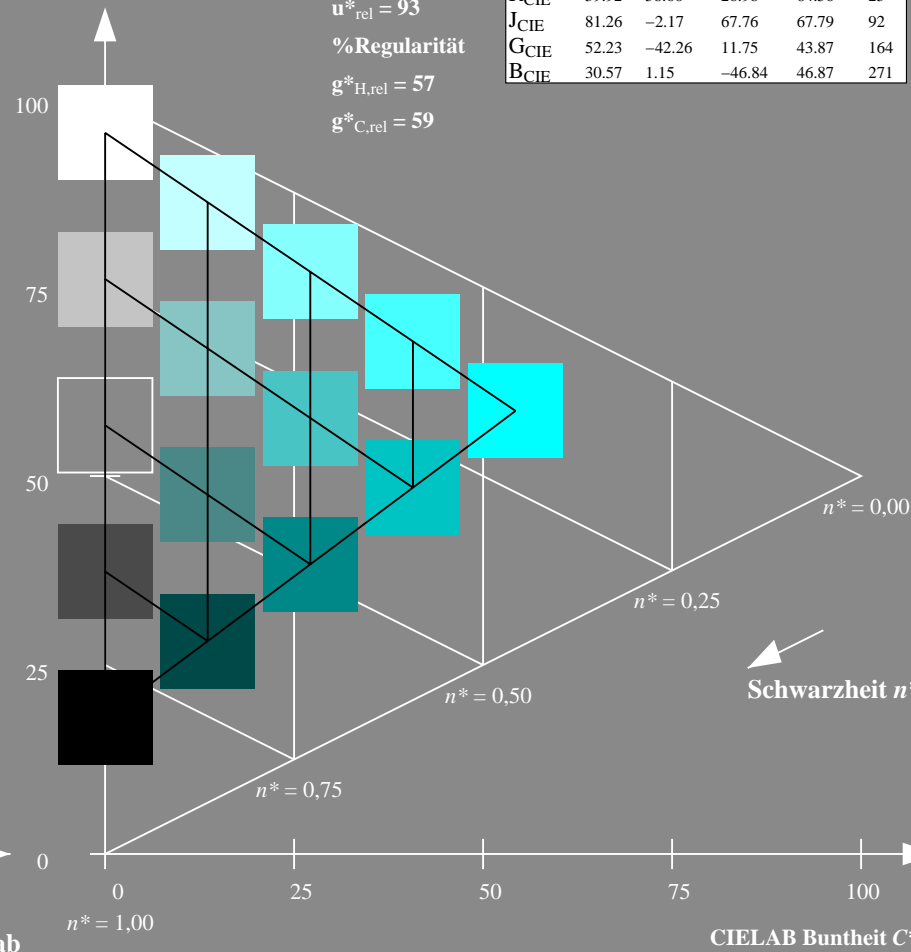
%Umfang

$u^*_{rel} = 93$

%Regularität

$g^*_{H,rel} = 57$

$g^*_{C,rel} = 59$



5 stufige Reihen für konstanten CIELAB Bunton 236/360 = 0.656 (rechts)

BAM-Prüfvorlage TG36; Farbmimetrische Systeme MRS18a & ORS18

D65: Koordinaten-Systeme von 5stufigen Farbreihen für 10 Buntton  
 Input: olv\* setrgbcolor / w\* setgray

Siehe ähnliche Dateien: <http://www.ps.bam.de/TG36/>  
 Technische Information: <http://www.ps.bam.de> Version 2.1, io=1,1, CIEXYZ

BAM-Registrierung: 20060101-TG36/10L/L36G03FP.PS/.PDF BAM-Material: Code=rhatha  
 Anwendung für Beurteilung und Messung von Drucker- oder Monitorssystemen, Yr=2.5, XYZ  
 /TG36 Form: 4/10, Serie: 1/1, Seite: 4 Seite: 4

Eingabe: Farbmimetrisches Reflexions-System MRS18a

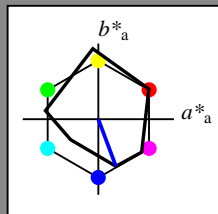
für Buntton  $h^* = lab^*h = 290/360 = 0.807$

LAB\*LCH, LAB\*NCH

D65: Buntton B

LCH\*Ma: 37 66 290

olv\*Ma: 0.0 0.0 1.0



MRS18a; adaptierte CIELAB-Daten

	$L^*=L^*_a$	$a^*_a$	$b^*_a$	$C^*_{ab,a}$	$h^*_{ab,a}$
R <sub>Ma</sub>	49.63	66.8	40.02	77.87	31
J <sub>Ma</sub>	90.7	-7.27	93.19	93.48	94
G <sub>Ma</sub>	52.11	-69.93	11.26	70.85	171
G50B <sub>Ma</sub>	45.03	-36.65	-27.13	45.61	217
B <sub>Ma</sub>	36.65	23.26	-62.27	66.49	290
B50R <sub>Ma</sub>	34.94	57.27	-43.6	71.99	323
N <sub>Ma</sub>	18.01	0.0	0.0	0.0	0
W <sub>Ma</sub>	95.41	0.0	0.0	0.0	0
R <sub>CIE</sub>	39.92	58.67	27.97	64.99	25
J <sub>CIE</sub>	81.26	-2.91	71.56	71.62	92
G <sub>CIE</sub>	52.23	-42.47	13.58	44.6	162
B <sub>CIE</sub>	30.57	1.33	-46.48	46.51	272

CIELAB-Helligkeit  $L^*$

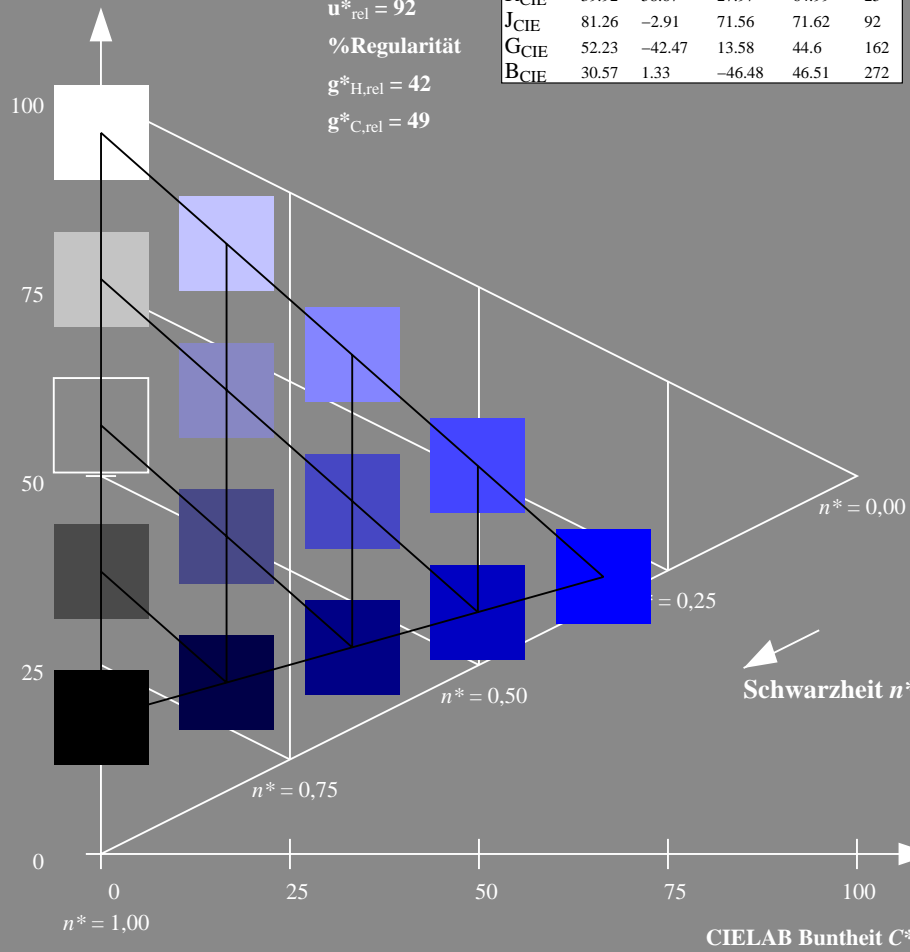
%Umfang

$u^*_{rel} = 92$

%Regularität

$g^*_{H,rel} = 42$

$g^*_{C,rel} = 49$



Ausgabe: Farbmimetrisches Reflexions-System ORS18

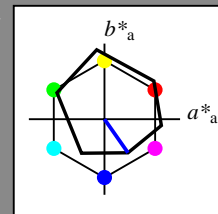
für Buntton  $h^* = lab^*h = 305/360 = 0.847$

LAB\*LCH, LAB\*NCH

D65: Buntton V

LCH\*Ma: 26 54 305

olv\*Ma: 0.0 0.0 1.0



ORS18; adaptierte CIELAB-Daten

	$L^*=L^*_a$	$a^*_a$	$b^*_a$	$C^*_{ab,a}$	$h^*_{ab,a}$
O <sub>Ma</sub>	47.94	65.37	50.52	82.62	38
Y <sub>Ma</sub>	90.37	-10.27	91.77	92.34	96
L <sub>Ma</sub>	50.9	-62.79	34.95	71.87	151
C <sub>Ma</sub>	58.62	-30.35	-45.01	54.3	236
V <sub>Ma</sub>	25.71	31.11	-44.42	54.24	305
M <sub>Ma</sub>	48.13	75.27	-8.35	75.73	354
N <sub>Ma</sub>	18.01	0.0	0.0	0.0	0
W <sub>Ma</sub>	95.41	0.0	0.0	0.0	0
R <sub>CIE</sub>	39.92	58.66	26.98	64.56	25
J <sub>CIE</sub>	81.26	-2.17	67.76	67.79	92
G <sub>CIE</sub>	52.23	-42.26	11.75	43.87	164
B <sub>CIE</sub>	30.57	1.15	-46.84	46.87	271

CIELAB-Helligkeit  $L^*$

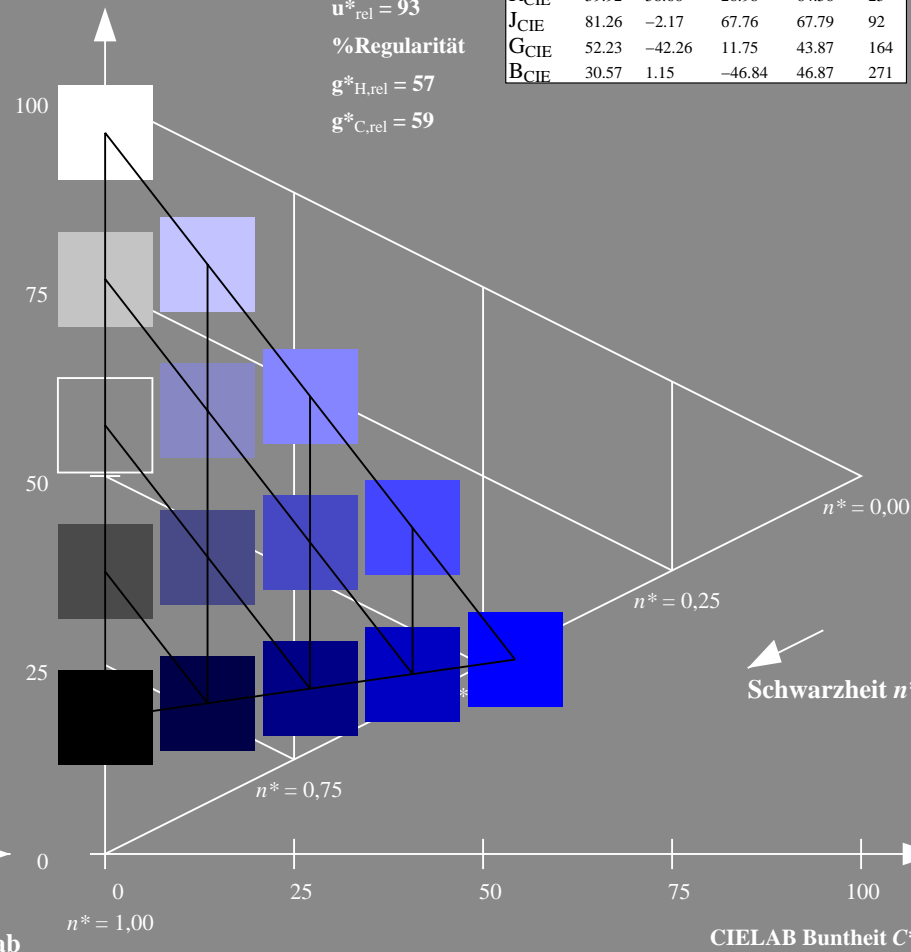
%Umfang

$u^*_{rel} = 93$

%Regularität

$g^*_{H,rel} = 57$

$g^*_{C,rel} = 59$



TG360-7, 5 stufige Reihen für konstanten CIELAB Buntton 290/360 = 0.807 (links)

5 stufige Reihen für konstanten CIELAB Buntton 305/360 = 0.847 (rechts)

BAM-Prüfvorlage TG36; Farbmimetrische Systeme MRS18a & ORS18 Input: olv\* setrgbcolor

D65: Koordinaten-Systeme von 5stufigen Farbreihen für 10 Buntton Output: olv\* setrgbcolor / w\* setgray

Siehe ähnliche Dateien: <http://www.ps.bam.de/TG36/>  
 Technische Information: <http://www.ps.bam.de> Version 2.1, io=1,1, CIEXYZ

BAM-Registrierung: 20060101-TG36/10L/L36G04FP.PS/.PDF BAM-Material: Code=rhatha  
 Anwendung für Beurteilung und Messung von Drucker- oder Monitorssystemen, Yr=2.5, XYZ  
 /TG36 Form: 5/10, Serie: 1/1, Seite: 5 Seite: 5

Eingabe: Farbmimetrisches Reflexions-System MRS18a

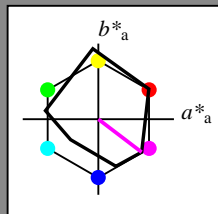
für Buntton  $h^* = lab^*h = 323/360 = 0.896$

LAB\*LCH, LAB\*NCH

D65: Buntton B50R

LCH\*Ma: 35 72 323

olv\*Ma: 1.0 0.0 1.0



MRS18a; adaptierte CIELAB-Daten

	$L^*=L^*_a$	$a^*_a$	$b^*_a$	$C^*_{ab,a}$	$h^*_{ab,a}$
R <sub>Ma</sub>	49.63	66.8	40.02	77.87	31
J <sub>Ma</sub>	90.7	-7.27	93.19	93.48	94
G <sub>Ma</sub>	52.11	-69.93	11.26	70.85	171
G50B <sub>Ma</sub>	45.03	-36.65	-27.13	45.61	217
B <sub>Ma</sub>	36.65	23.26	-62.27	66.49	290
B50R <sub>Ma</sub>	34.94	57.27	-43.6	71.99	323
N <sub>Ma</sub>	18.01	0.0	0.0	0.0	0
W <sub>Ma</sub>	95.41	0.0	0.0	0.0	0
R <sub>CIE</sub>	39.92	58.67	27.97	64.99	25
J <sub>CIE</sub>	81.26	-2.91	71.56	71.62	92
G <sub>CIE</sub>	52.23	-42.47	13.58	44.6	162
B <sub>CIE</sub>	30.57	1.33	-46.48	46.51	272

CIELAB-Helligkeit  $L^*$

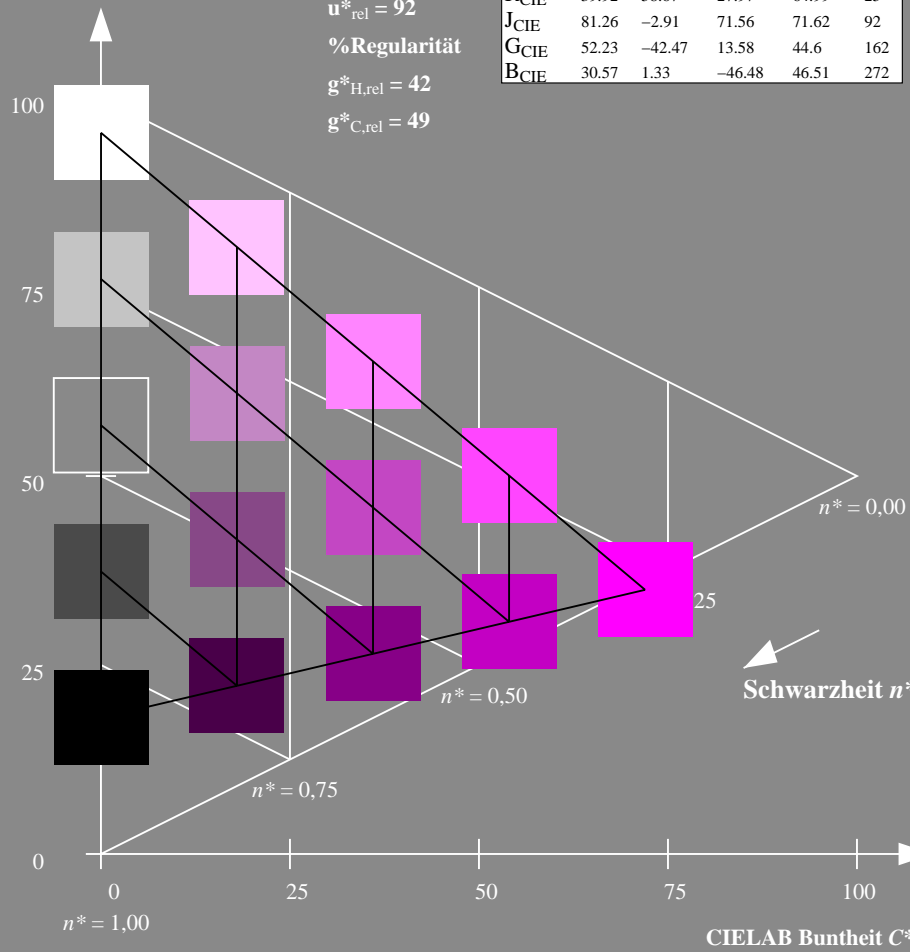
%Umfang

$u^*_{rel} = 92$

%Regularität

$g^*_{H,rel} = 42$

$g^*_{C,rel} = 49$



Ausgabe: Farbmimetrisches Reflexions-System ORS18

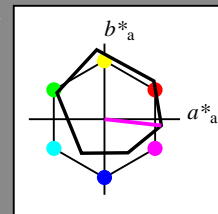
für Buntton  $h^* = lab^*h = 354/360 = 0.982$

LAB\*LCH, LAB\*NCH

D65: Buntton M

LCH\*Ma: 48 76 354

olv\*Ma: 1.0 0.0 1.0



ORS18; adaptierte CIELAB-Daten

	$L^*=L^*_a$	$a^*_a$	$b^*_a$	$C^*_{ab,a}$	$h^*_{ab,a}$
O <sub>Ma</sub>	47.94	65.37	50.52	82.62	38
Y <sub>Ma</sub>	90.37	-10.27	91.77	92.34	96
L <sub>Ma</sub>	50.9	-62.79	34.95	71.87	151
C <sub>Ma</sub>	58.62	-30.35	-45.01	54.3	236
V <sub>Ma</sub>	25.71	31.11	-44.42	54.24	305
M <sub>Ma</sub>	48.13	75.27	-8.35	75.73	354
N <sub>Ma</sub>	18.01	0.0	0.0	0.0	0
W <sub>Ma</sub>	95.41	0.0	0.0	0.0	0
R <sub>CIE</sub>	39.92	58.66	26.98	64.56	25
J <sub>CIE</sub>	81.26	-2.17	67.76	67.79	92
G <sub>CIE</sub>	52.23	-42.26	11.75	43.87	164
B <sub>CIE</sub>	30.57	1.15	-46.84	46.87	271

CIELAB-Helligkeit  $L^*$

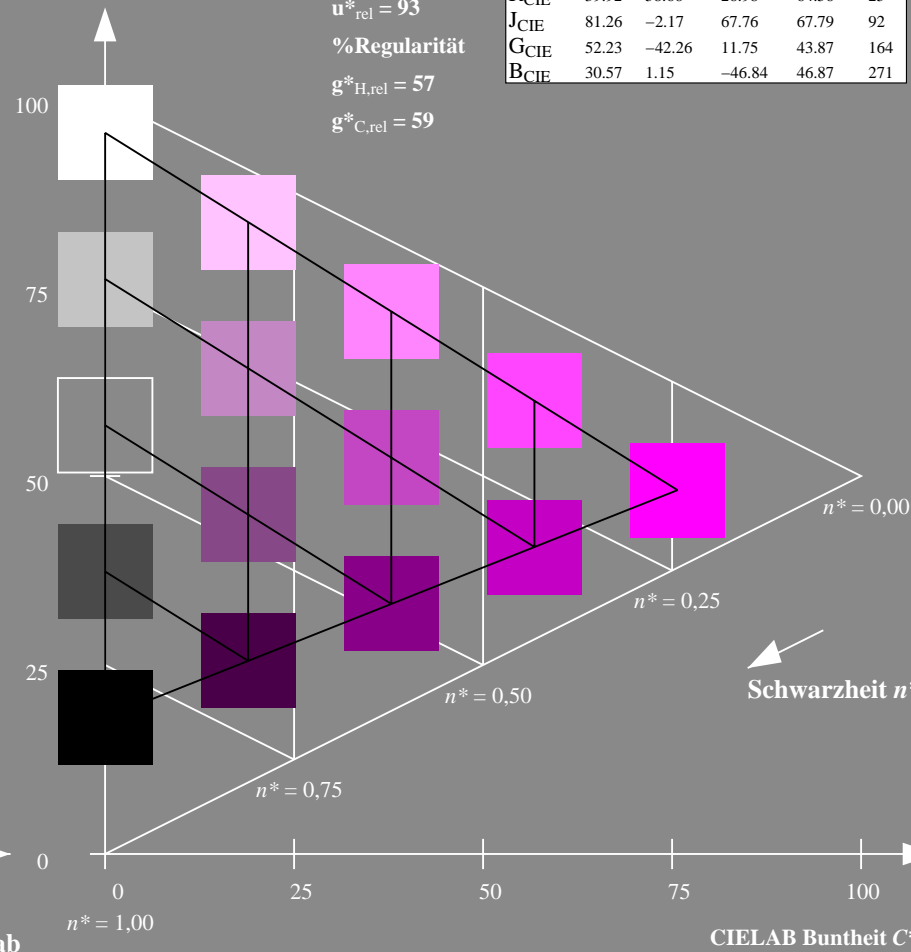
%Umfang

$u^*_{rel} = 93$

%Regularität

$g^*_{H,rel} = 57$

$g^*_{C,rel} = 59$



TG360-7, 5 stufige Reihen für konstanten CIELAB Buntton 323/360 = 0.896 (links)

5 stufige Reihen für konstanten CIELAB Buntton 354/360 = 0.982 (rechts)

BAM-Prüfvorlage TG36; Farbmimetrische Systeme MRS18a & ORS18

D65: Koordinaten-Systeme von 5stufigen Farbreihen für 10 Buntton

Input: `olv* setrgbcolor`

Output: `olv* setrgbcolor / w* setgray`

Siehe ähnliche Dateien: <http://www.ps.bam.de/TG36/>  
 Technische Information: <http://www.ps.bam.de> Version 2.1, io=1,1, CIEXYZ

BAM-Registrierung: 20060101-TG36/10L/L36G05FP.PS/.PDF BAM-Material: Code=rhatha  
 Anwendung für Beurteilung und Messung von Drucker- oder Monitorssystemen, Yr=2.5, XYZ  
 /TG36 Form: 6/10, Serie: 1/1, Seite: 6 Seite: 6



Eingabe: Farbmimetrisches Reflexions-System MRS18a

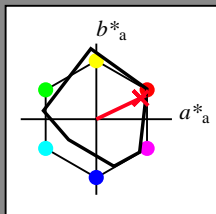
für Buntton  $h^* = lab^*h = 25/360 = 0.071$

LAB\*LCH, LAB\*NCH

D65: Buntton R

LCH\*Ma: 48 73 25

olv\*Ma: 1.0 0.0 0.1



**MRS18a; adaptierte CIELAB-Daten**

	$L^*=L^*_a$	$a^*_a$	$b^*_a$	$C^*_{ab,a}$	$h^*_{ab,a}$
R <sub>Ma</sub>	49.63	66.8	40.02	77.87	31
J <sub>Ma</sub>	90.7	-7.27	93.19	93.48	94
G <sub>Ma</sub>	52.11	-69.93	11.26	70.85	171
G50B <sub>Ma</sub>	45.03	-36.65	-27.13	45.61	217
B <sub>Ma</sub>	36.65	23.26	-62.27	66.49	290
B50R <sub>Ma</sub>	34.94	57.27	-43.6	71.99	323
N <sub>Ma</sub>	18.01	0.0	0.0	0.0	0
W <sub>Ma</sub>	95.41	0.0	0.0	0.0	0
R <sub>CIE</sub>	39.92	58.67	27.97	64.99	25
J <sub>CIE</sub>	81.26	-2.91	71.56	71.62	92
G <sub>CIE</sub>	52.23	-42.47	13.58	44.6	162
B <sub>CIE</sub>	30.57	1.33	-46.48	46.51	272

CIELAB-Helligkeit  $L^*$

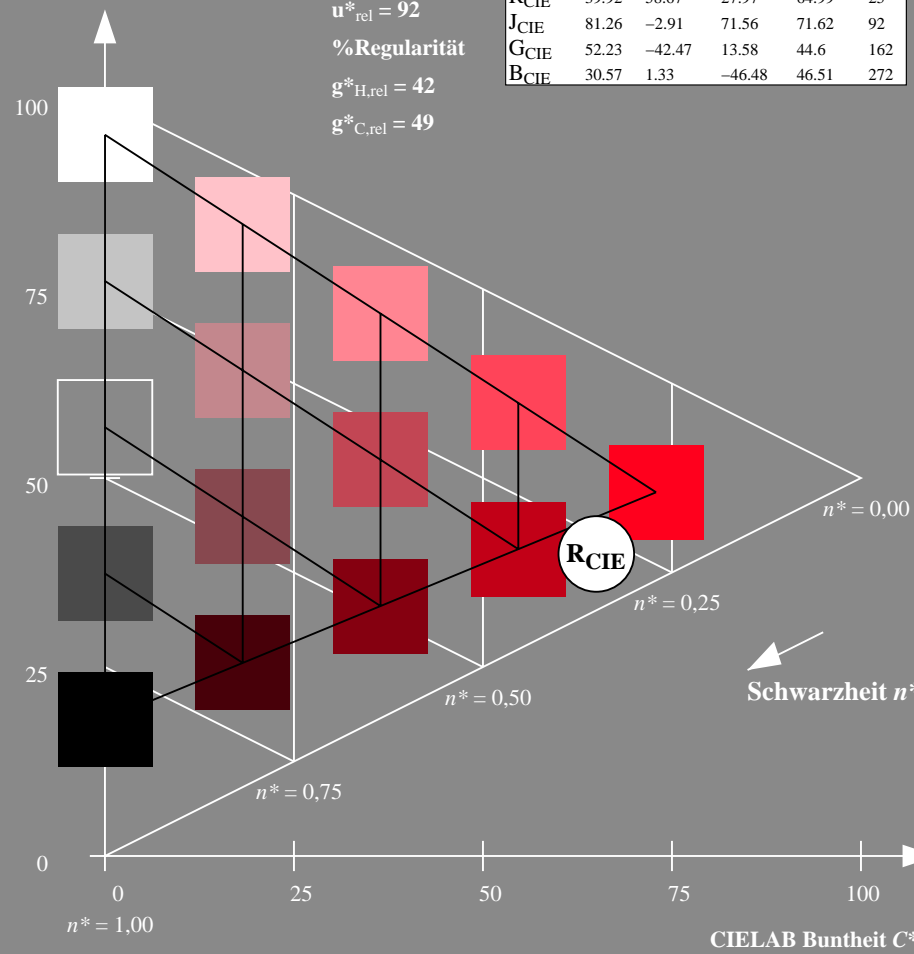
%Umfang

$u^*_{rel} = 92$

%Regularität

$g^*_{H,rel} = 42$

$g^*_{C,rel} = 49$



TG360-7, 5 stufige Reihen für konstanten CIELAB Bunnton 25/360 = 0.071 (links)

Ausgabe: Farbmimetrisches Reflexions-System ORS18

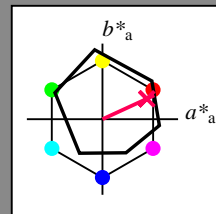
für Buntton  $h^* = lab^*h = 25/360 = 0.069$

LAB\*LCH, LAB\*NCH

D65: Buntton R

LCH\*Ma: 48 75 25

olv\*Ma: 1.0 0.0 0.32



**ORS18; adaptierte CIELAB-Daten**

	$L^*=L^*_a$	$a^*_a$	$b^*_a$	$C^*_{ab,a}$	$h^*_{ab,a}$
O <sub>Ma</sub>	47.94	65.37	50.52	82.62	38
Y <sub>Ma</sub>	90.37	-10.27	91.77	92.34	96
L <sub>Ma</sub>	50.9	-62.79	34.95	71.87	151
C <sub>Ma</sub>	58.62	-30.35	-45.01	54.3	236
V <sub>Ma</sub>	25.71	31.11	-44.42	54.24	305
M <sub>Ma</sub>	48.13	75.27	-8.35	75.73	354
N <sub>Ma</sub>	18.01	0.0	0.0	0.0	0
W <sub>Ma</sub>	95.41	0.0	0.0	0.0	0
R <sub>CIE</sub>	39.92	58.66	26.98	64.56	25
J <sub>CIE</sub>	81.26	-2.17	67.76	67.79	92
G <sub>CIE</sub>	52.23	-42.26	11.75	43.87	164
B <sub>CIE</sub>	30.57	1.15	-46.84	46.87	271

CIELAB-Helligkeit  $L^*$

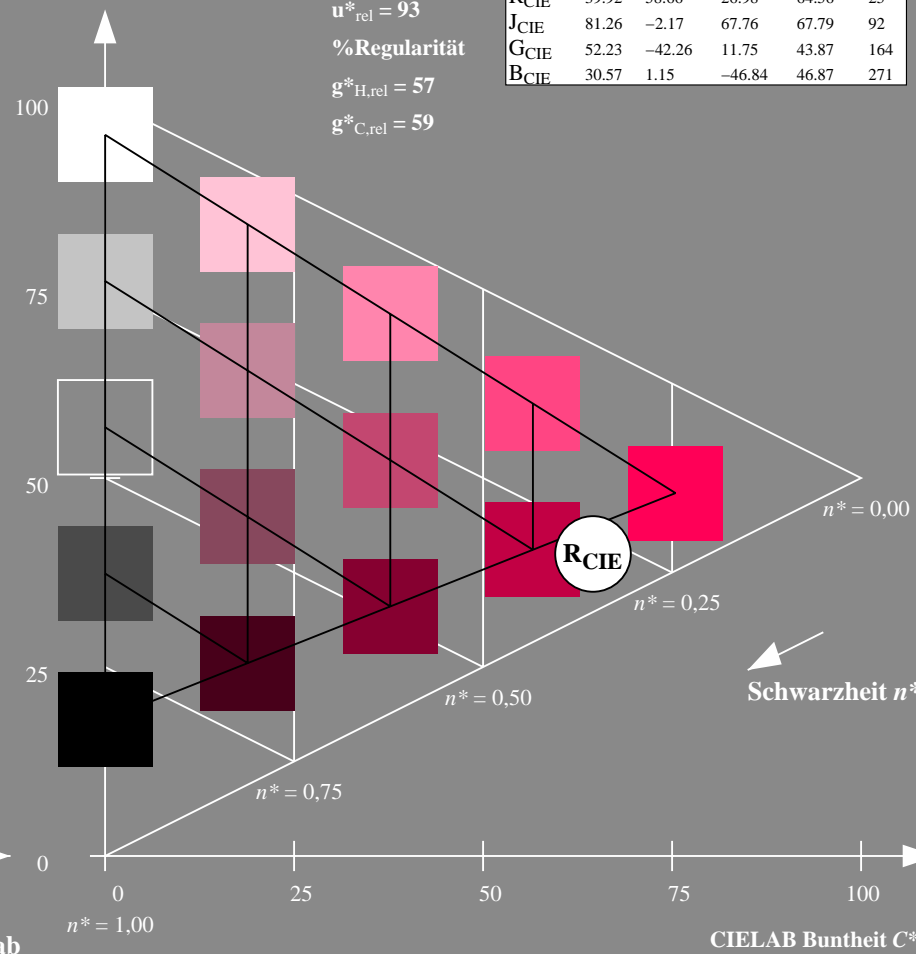
%Umfang

$u^*_{rel} = 93$

%Regularität

$g^*_{H,rel} = 57$

$g^*_{C,rel} = 59$



5 stufige Reihen für konstanten CIELAB Bunnton 25/360 = 0.069 (rechts)

Eingabe: Farbmimetrisches Reflexions-System MRS18a

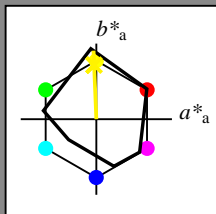
für Buntton  $h^* = lab^*h = 92/360 = 0.256$

LAB\*LCH, LAB\*NCH

D65: Buntton J

LCH\*Ma: 89 91 92

olv\*Ma: 1.0 0.95 0.0



MRS18a; adaptierte CIELAB-Daten

	$L^*=L^*_a$	$a^*_a$	$b^*_a$	$C^*_{ab,a}$	$h^*_{ab,a}$
R <sub>Ma</sub>	49.63	66.8	40.02	77.87	31
J <sub>Ma</sub>	90.7	-7.27	93.19	93.48	94
G <sub>Ma</sub>	52.11	-69.93	11.26	70.85	171
G50B <sub>Ma</sub>	45.03	-36.65	-27.13	45.61	217
B <sub>Ma</sub>	36.65	23.26	-62.27	66.49	290
B50R <sub>Ma</sub>	34.94	57.27	-43.6	71.99	323
N <sub>Ma</sub>	18.01	0.0	0.0	0.0	0
W <sub>Ma</sub>	95.41	0.0	0.0	0.0	0
R <sub>CIE</sub>	39.92	58.67	27.97	64.99	25
J <sub>CIE</sub>	81.26	-2.91	71.56	71.62	92
G <sub>CIE</sub>	52.23	-42.47	13.58	44.6	162
B <sub>CIE</sub>	30.57	1.33	-46.48	46.51	272

CIELAB-Helligkeit  $L^*$

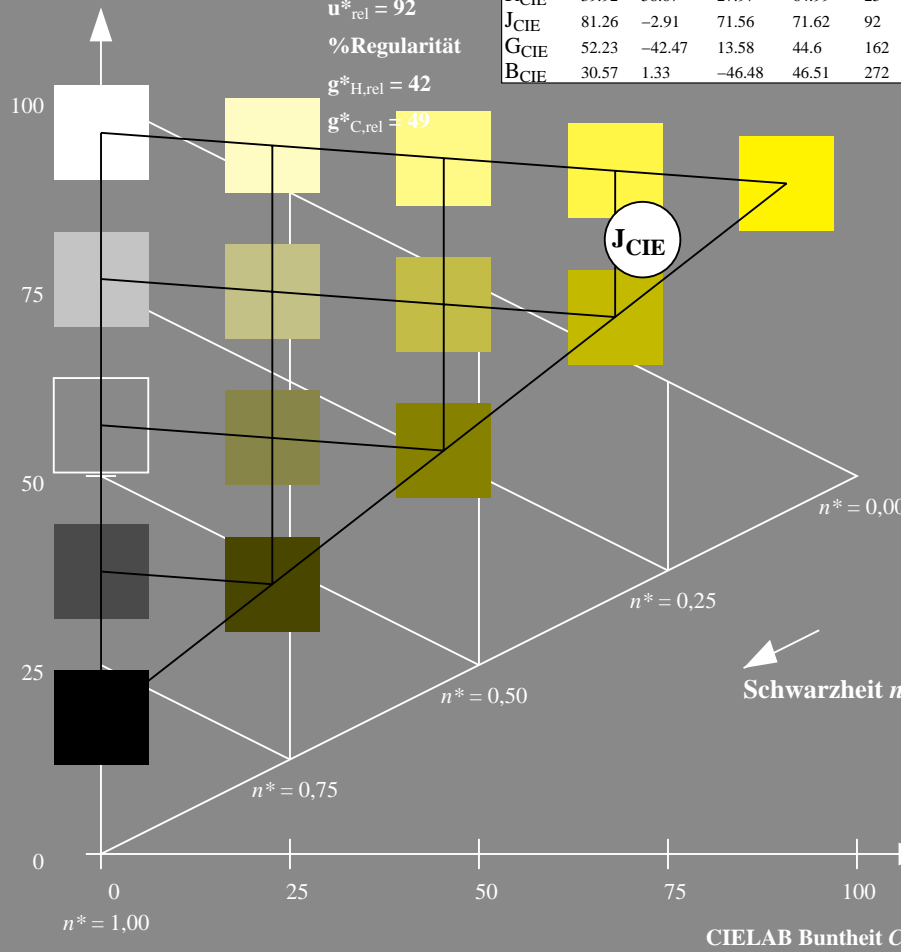
%Umfang

$u^*_{rel} = 92$

%Regularität

$g^*_{H,rel} = 42$

$g^*_{C,rel} = 49$



Ausgabe: Farbmimetrisches Reflexions-System ORS18

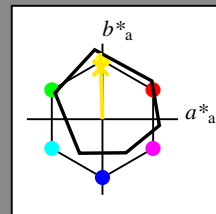
für Buntton  $h^* = lab^*h = 92/360 = 0.255$

LAB\*LCH, LAB\*NCH

D65: Buntton J

LCH\*Ma: 86 88 92

olv\*Ma: 1.0 0.9 0.0



ORS18; adaptierte CIELAB-Daten

	$L^*=L^*_a$	$a^*_a$	$b^*_a$	$C^*_{ab,a}$	$h^*_{ab,a}$
O <sub>Ma</sub>	47.94	65.37	50.52	82.62	38
Y <sub>Ma</sub>	90.37	-10.27	91.77	92.34	96
L <sub>Ma</sub>	50.9	-62.79	34.95	71.87	151
C <sub>Ma</sub>	58.62	-30.35	-45.01	54.3	236
V <sub>Ma</sub>	25.71	31.11	-44.42	54.24	305
M <sub>Ma</sub>	48.13	75.27	-8.35	75.73	354
N <sub>Ma</sub>	18.01	0.0	0.0	0.0	0
W <sub>Ma</sub>	95.41	0.0	0.0	0.0	0
R <sub>CIE</sub>	39.92	58.66	26.98	64.56	25
J <sub>CIE</sub>	81.26	-2.17	67.76	67.79	92
G <sub>CIE</sub>	52.23	-42.26	11.75	43.87	164
B <sub>CIE</sub>	30.57	1.15	-46.84	46.87	271

CIELAB-Helligkeit  $L^*$

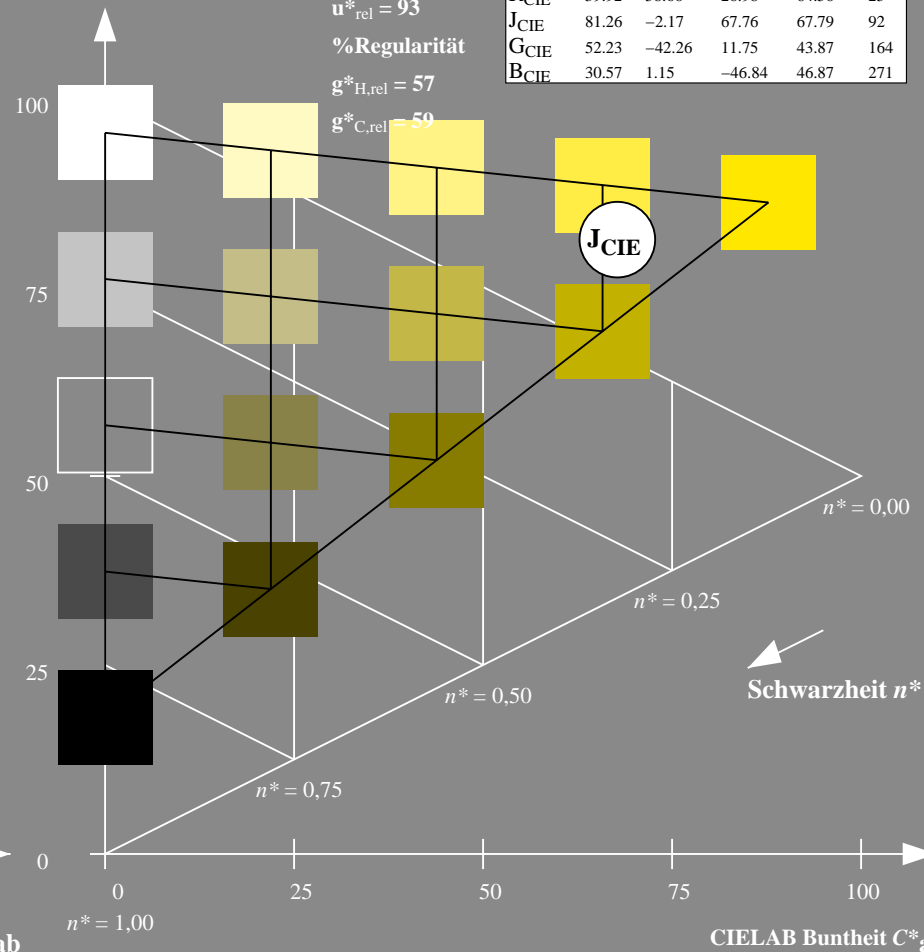
%Umfang

$u^*_{rel} = 93$

%Regularität

$g^*_{H,rel} = 57$

$g^*_{C,rel} = 59$



TG360-7, 5 stufige Reihen für konstanten CIELAB Buntton  $92/360 = 0.256$  (links)

5 stufige Reihen für konstanten CIELAB Buntton  $92/360 = 0.255$  (rechts)

BAM-Prüfvorlage TG36; Farbmimetrische Systeme MRS18a & ORS18

D65: Koordinaten-Systeme von 5stufigen Farbreihen für 10 Buntton  
 Input: olv\* setrgbcolor / w\* setgray

Siehe ähnliche Dateien: <http://www.ps.bam.de/TG36/>  
 Technische Information: <http://www.ps.bam.de> Version 2.1, io=1,1, CIEXYZ

BAM-Registrierung: 20060101-TG36/10L/L36G07FP.PS/.PDF BAM-Material: Code=rhatha  
 Anwendung für Beurteilung und Messung von Drucker- oder Monitorssystemen, Yr=2.5, XYZ  
 /TG36 Form: 8/10, Serie: 1/1, Seite: 8 Seite: 8



Eingabe: Farbmimetrisches Reflexions-System MRS18a

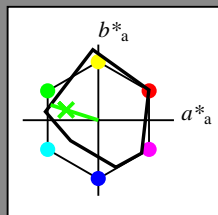
für Buntton  $h^* = lab^*h = 162/360 = 0.451$

LAB\*LCH, LAB\*NCH

D65: Buntton G

LCH\*Ma: 56 66 162

olv\*Ma: 0.11 1.0 0.0



**MRS18a; adaptierte CIELAB-Daten**

	$L^*=L^*_a$	$a^*_a$	$b^*_a$	$C^*_{ab,a}$	$h^*_{ab,a}$
R <sub>Ma</sub>	49.63	66.8	40.02	77.87	31
J <sub>Ma</sub>	90.7	-7.27	93.19	93.48	94
G <sub>Ma</sub>	52.11	-69.93	11.26	70.85	171
G50B <sub>Ma</sub>	45.03	-36.65	-27.13	45.61	217
B <sub>Ma</sub>	36.65	23.26	-62.27	66.49	290
B50R <sub>Ma</sub>	34.94	57.27	-43.6	71.99	323
N <sub>Ma</sub>	18.01	0.0	0.0	0.0	0
W <sub>Ma</sub>	95.41	0.0	0.0	0.0	0
R <sub>CIE</sub>	39.92	58.67	27.97	64.99	25
J <sub>CIE</sub>	81.26	-2.91	71.56	71.62	92
G <sub>CIE</sub>	52.23	-42.47	13.58	44.6	162
B <sub>CIE</sub>	30.57	1.33	-46.48	46.51	272

CIELAB-Helligkeit  $L^*$

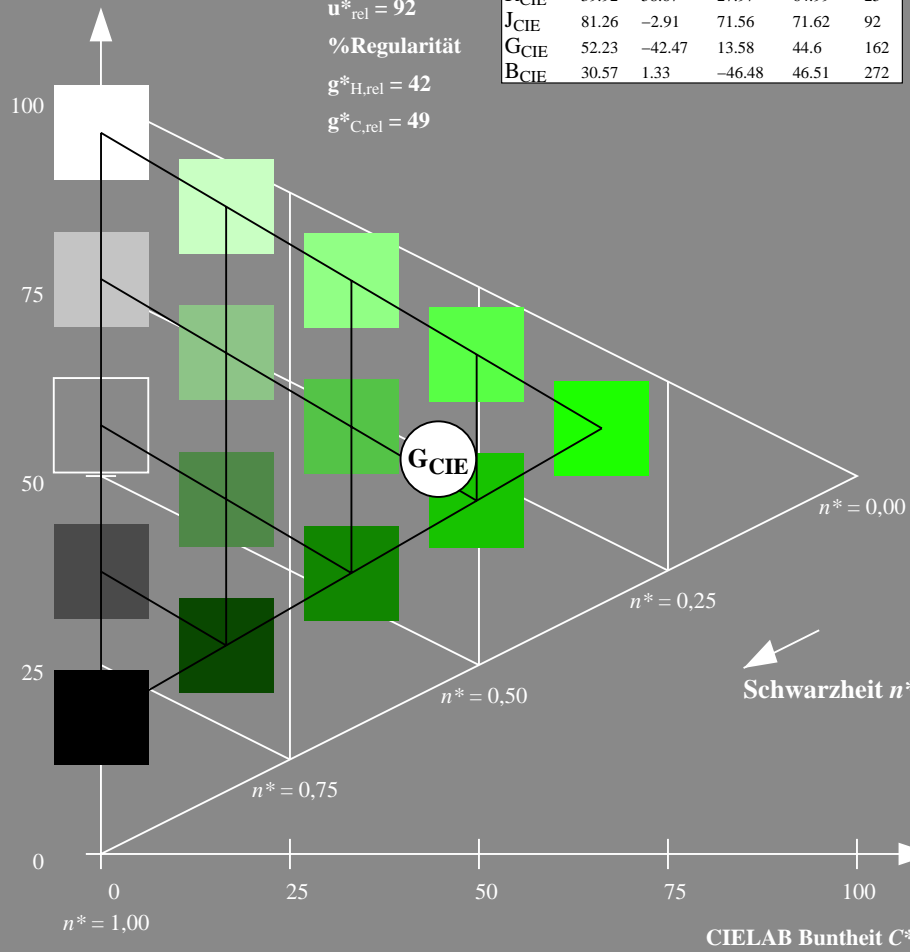
%Umfang

$u^*_{rel} = 92$

%Regularität

$g^*_{H,rel} = 42$

$g^*_{C,rel} = 49$



Ausgabe: Farbmimetrisches Reflexions-System ORS18

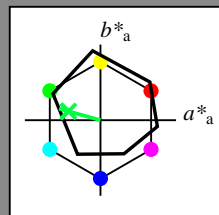
für Buntton  $h^* = lab^*h = 164/360 = 0.457$

LAB\*LCH, LAB\*NCH

D65: Buntton G

LCH\*Ma: 53 57 164

olv\*Ma: 0.0 1.0 0.25



**ORS18; adaptierte CIELAB-Daten**

	$L^*=L^*_a$	$a^*_a$	$b^*_a$	$C^*_{ab,a}$	$h^*_{ab,a}$
O <sub>Ma</sub>	47.94	65.37	50.52	82.62	38
Y <sub>Ma</sub>	90.37	-10.27	91.77	92.34	96
L <sub>Ma</sub>	50.9	-62.79	34.95	71.87	151
C <sub>Ma</sub>	58.62	-30.35	-45.01	54.3	236
V <sub>Ma</sub>	25.71	31.11	-44.42	54.24	305
M <sub>Ma</sub>	48.13	75.27	-8.35	75.73	354
N <sub>Ma</sub>	18.01	0.0	0.0	0.0	0
W <sub>Ma</sub>	95.41	0.0	0.0	0.0	0
R <sub>CIE</sub>	39.92	58.66	26.98	64.56	25
J <sub>CIE</sub>	81.26	-2.17	67.76	67.79	92
G <sub>CIE</sub>	52.23	-42.26	11.75	43.87	164
B <sub>CIE</sub>	30.57	1.15	-46.84	46.87	271

CIELAB-Helligkeit  $L^*$

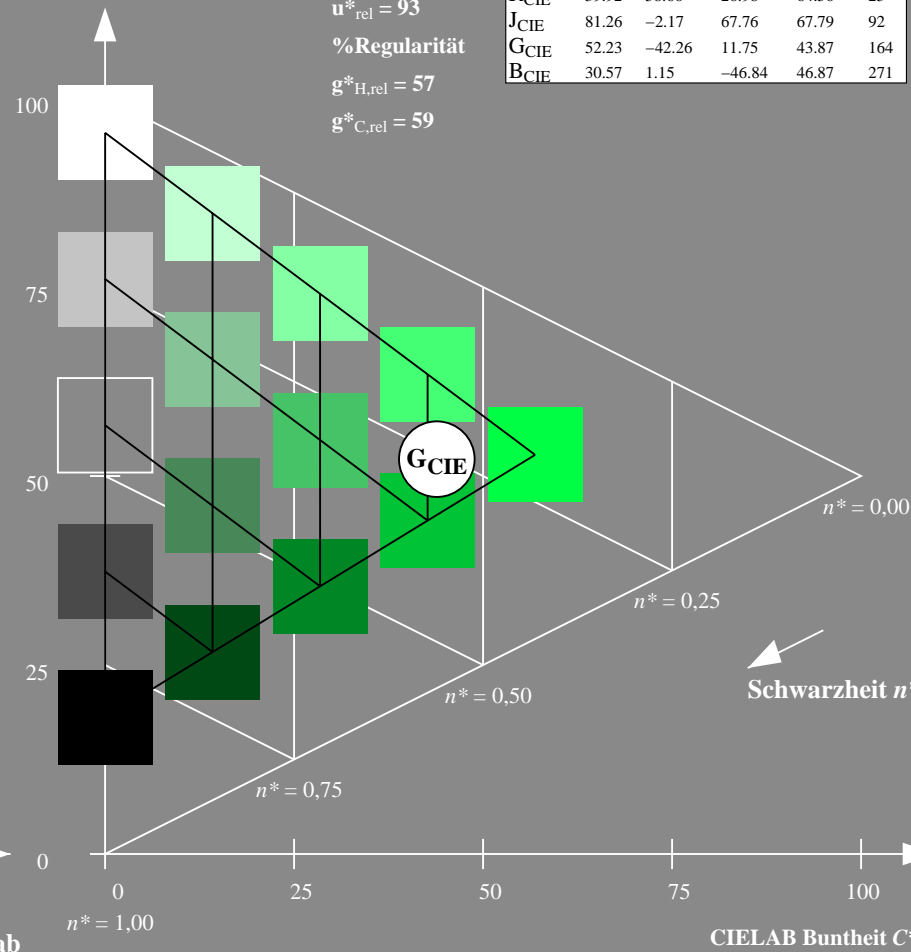
%Umfang

$u^*_{rel} = 93$

%Regularität

$g^*_{H,rel} = 57$

$g^*_{C,rel} = 59$



TG360-7, 5 stufige Reihen für konstanten CIELAB Buntton 162/360 = 0.451 (links)

5 stufige Reihen für konstanten CIELAB Buntton 164/360 = 0.457 (rechts)

BAM-Prüfvorlage TG36; Farbmimetrische Systeme MRS18a & ORS18

D65: Koordinaten-Systeme von 5stufigen Farbreihen für 10 Buntton

Input: `olv* setrgbcolor`

Output: `olv* setrgbcolor / w* setgray`

Siehe ähnliche Dateien: <http://www.ps.bam.de/TG36/>  
 Technische Information: <http://www.ps.bam.de> Version 2.1, io=1,1, CIEXYZ

BAM-Registrierung: 20060101-TG36/10L/L36G08FP.PS/.PDF BAM-Material: Code=rhatha  
 Anwendung für Beurteilung und Messung von Drucker- oder Monitorssystemen, Yr=2.5, XYZ  
 /TG36 Form: 9/10, Serie: 1/1, Seite: 9 Seite: 9

Eingabe: Farbmimetrisches Reflexions-System MRS18a

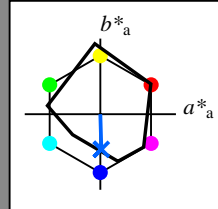
für Buntton  $h^* = lab^*h = 272/360 = 0.755$

LAB\*LCH, LAB\*NCH

D65: Buntton B

LCH\*Ma: 40 49 272

olv\*Ma: 0.0 0.36 1.0



**MRS18a; adaptierte CIELAB-Daten**

	$L^*=L^*_a$	$a^*_a$	$b^*_a$	$C^*_{ab,a}$	$h^*_{ab,a}$
R <sub>Ma</sub>	49.63	66.8	40.02	77.87	31
J <sub>Ma</sub>	90.7	-7.27	93.19	93.48	94
G <sub>Ma</sub>	52.11	-69.93	11.26	70.85	171
G50B <sub>Ma</sub>	45.03	-36.65	-27.13	45.61	217
B <sub>Ma</sub>	36.65	23.26	-62.27	66.49	290
B50R <sub>Ma</sub>	34.94	57.27	-43.6	71.99	323
N <sub>Ma</sub>	18.01	0.0	0.0	0.0	0
W <sub>Ma</sub>	95.41	0.0	0.0	0.0	0
R <sub>CIE</sub>	39.92	58.67	27.97	64.99	25
J <sub>CIE</sub>	81.26	-2.91	71.56	71.62	92
G <sub>CIE</sub>	52.23	-42.47	13.58	44.6	162
B <sub>CIE</sub>	30.57	1.33	-46.48	46.51	272

CIELAB-Helligkeit  $L^*$

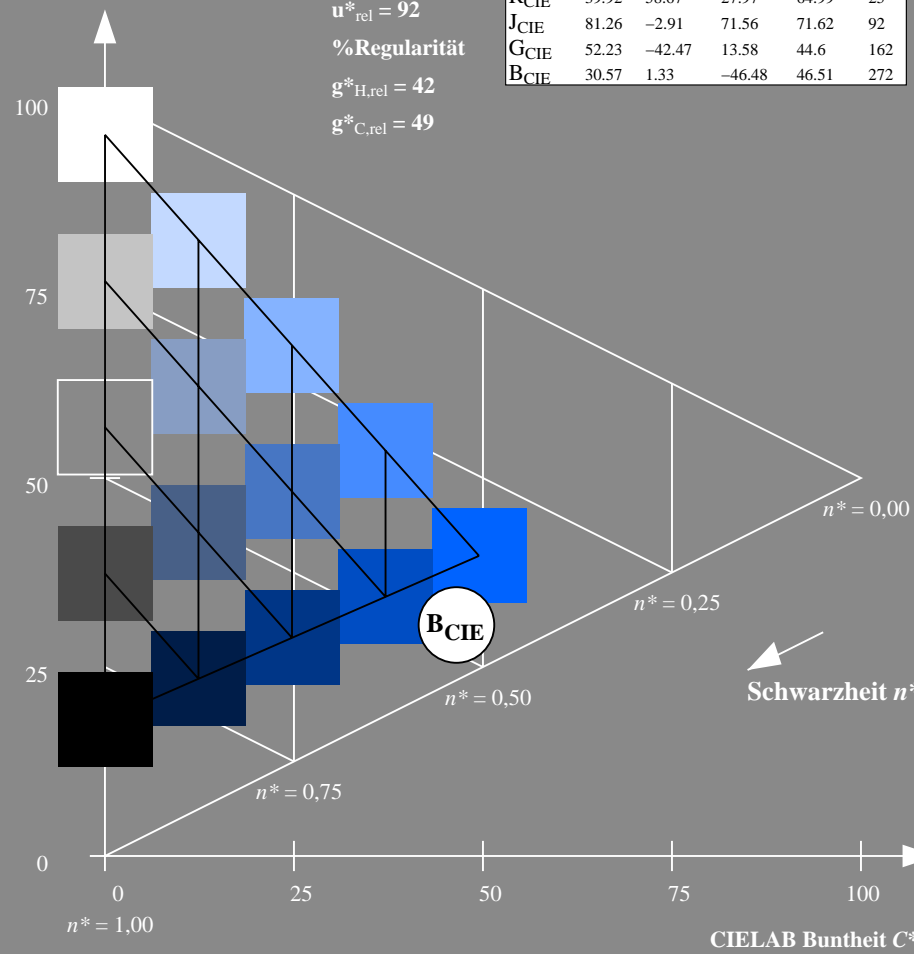
%Umfang

$u^*_{rel} = 92$

%Regularität

$g^*_{H,rel} = 42$

$g^*_{C,rel} = 49$



TG360-7, 5 stufige Reihen für konstanten CIELAB Buntton  $272/360 = 0.755$  (links)

Ausgabe: Farbmimetrisches Reflexions-System ORS18

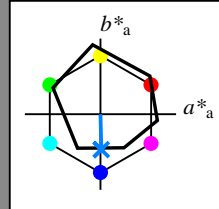
für Buntton  $h^* = lab^*h = 271/360 = 0.754$

LAB\*LCH, LAB\*NCH

D65: Buntton B

LCH\*Ma: 42 45 271

olv\*Ma: 0.0 0.49 1.0



**ORS18; adaptierte CIELAB-Daten**

	$L^*=L^*_a$	$a^*_a$	$b^*_a$	$C^*_{ab,a}$	$h^*_{ab,a}$
O <sub>Ma</sub>	47.94	65.37	50.52	82.62	38
Y <sub>Ma</sub>	90.37	-10.27	91.77	92.34	96
L <sub>Ma</sub>	50.9	-62.79	34.95	71.87	151
C <sub>Ma</sub>	58.62	-30.35	-45.01	54.3	236
V <sub>Ma</sub>	25.71	31.11	-44.42	54.24	305
M <sub>Ma</sub>	48.13	75.27	-8.35	75.73	354
N <sub>Ma</sub>	18.01	0.0	0.0	0.0	0
W <sub>Ma</sub>	95.41	0.0	0.0	0.0	0
R <sub>CIE</sub>	39.92	58.66	26.98	64.56	25
J <sub>CIE</sub>	81.26	-2.17	67.76	67.79	92
G <sub>CIE</sub>	52.23	-42.26	11.75	43.87	164
B <sub>CIE</sub>	30.57	1.15	-46.84	46.87	271

CIELAB-Helligkeit  $L^*$

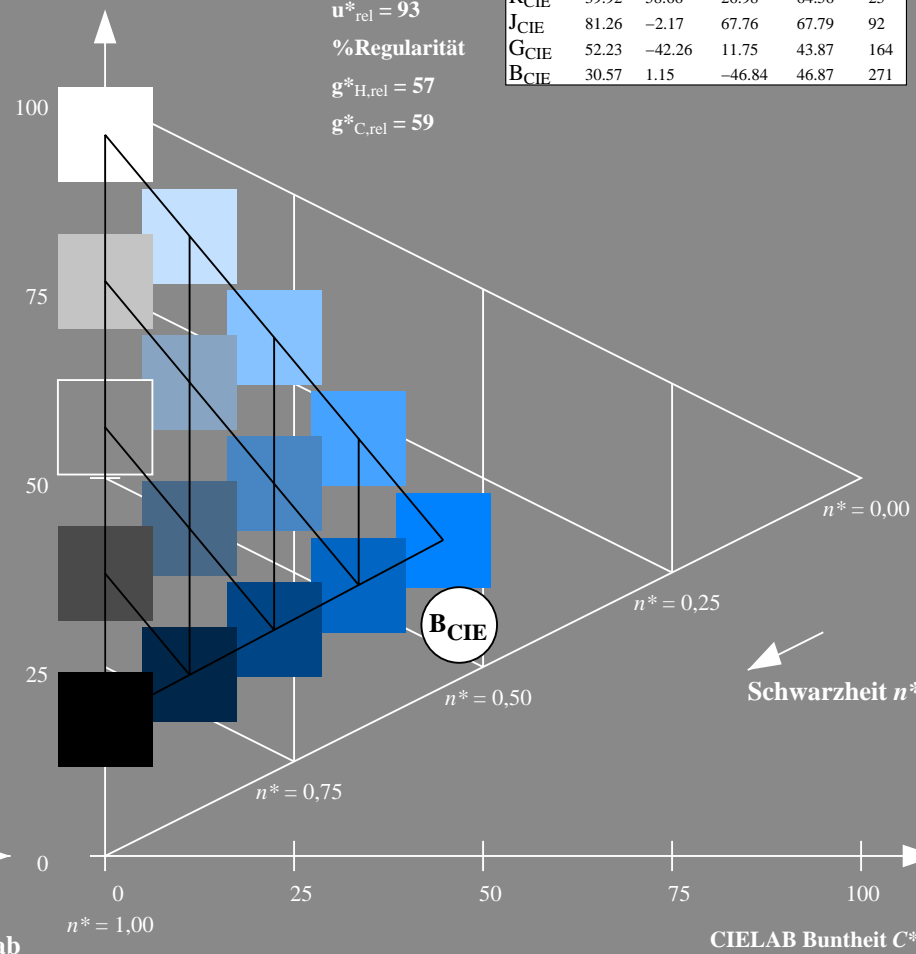
%Umfang

$u^*_{rel} = 93$

%Regularität

$g^*_{H,rel} = 57$

$g^*_{C,rel} = 59$



5 stufige Reihen für konstanten CIELAB Buntton  $271/360 = 0.754$  (rechts)